

# Αριθμητική Ανάλυση Εργασία 2

Λογοθέτης Φακίνος

Μάιος 2024

## 1 Άσκηση 1

### 1.1 Μέρος Α

Εφόσον θέλουμε αλγόριθμο  $LU$  παραγοντοποίησης σε πρώτη φάση, μπορούμε να χρησιμοποιήσουμε μια παραλλαγή της απαλοιφής Gauss, που θα κάνει οικονομία σε πράξεις. Θα εκμεταλλευτούμε το ότι χρειάζεται μόνο μια γραμμο-πράξη ανα γραμμή του πίνακα, για να κάνουμε τον πίνακα μας άνω τριγωνικό με τη μέθοδο Gauss. Σε κάθε βήμα  $i$  θα εξαλείφουμε το  $c_{i+1}$  με κατάλληλο συντελεστή στην αφαίρεση γραμμών και αφού ο πίνακας μας  $A$  είναι τριδιαγώνιος  $\forall j > i + 1, A_{ji} = 0$ .

Αν ο πίνακας  $A'$ , είναι στο  $i + 1$  βήμα της μεθόδου μας:

$$A' = \begin{pmatrix} a_1 & b_1 & 0 & \cdots & & & & 0 \\ 0 & a_2^{(1)} & b_2 & 0 & \cdots & & & 0 \\ 0 & \cdots & & & & & & 0 \\ 0 & \cdots & & a_i^{(i-1)} & b_i & 0 & \cdots & 0 \\ 0 & \cdots & & c_{i+1} & a_{i+1} & b_{i+1} & 0 & \cdots & 0 \\ 0 & \cdots & & & & & & & 0 \\ 0 & \cdots & & & & & c_{n-1} & a_{n-1} & b_{n-1} \\ 0 & \cdots & & & & & & c_n & a_n \end{pmatrix}$$

Παρατηρούμε ότι αρκεί να υπολογίσουμε τον συντελεστή  $m_{(i+1)i} = \frac{c_{i+1}}{a_i^{(i-1)}}$ , όλοι οι υπόλοιποι συντελεστές  $m_{ji}$ ,  $\forall j > i + 1$  του  $L$  είναι 0, καθώς ήδη

$A_{ji} = 0$ . Μετά, μας απομένει να μηδενίσουμε το  $c_{i+1}$  και να θέσουμε  $a_{i+1}^{(i)} = a_{i+1} - m_{(i+1)i}a_i^{(i-1)}$ , προχωρώντας στην επόμενη γραμμή.

Έτσι ο  $L$  θα είναι ο εξής:

$$L = \begin{pmatrix} 1 & 0 & \cdots & 0 \\ m_{21} & 1 & \cdots & 0 \\ 0 & m_{32} & 1 & \cdots & 0 \\ \vdots & \vdots & \vdots & & \vdots \\ 0 & \cdots & 0 & \cdots & 1 \end{pmatrix}$$

Παρατηρούμε, τότε ότι τα στοιχεία  $b_i$  μένουν ίδια (καθώς απο πάνω τους έχουν 0 και δεν επηρεάζονται απο την αφαίρεση γραμμών), ενώ  $a_{i+1}^{(i)} = a_{i+1} - m_{(i+1)i}b_i$ . Άρα:

$$U = \begin{pmatrix} a_1 & b_1 & \cdots & 0 \\ 0 & a_2^{(1)} & b_2 & \cdots & 0 \\ 0 & 0 & a_3^{(2)} & \cdots & 0 \\ \vdots & \vdots & \vdots & & \vdots \\ 0 & \cdots & 0 & \cdots & a_n^{(n-1)} \end{pmatrix}$$

Τώρα προχωράμε στο diagLsol, δηλαδή την επίλυση του  $Ly = b$

$$\begin{pmatrix} 1 & 0 & \cdots & 0 \\ m_{21} & 1 & \cdots & 0 \\ 0 & m_{32} & 1 & \cdots & 0 \\ \vdots & \vdots & \vdots & & \vdots \\ 0 & \cdots & 0 & \cdots & 1 \end{pmatrix} \begin{pmatrix} y_1 \\ y_2 \\ y_3 \\ \vdots \\ y_n \end{pmatrix} = \begin{pmatrix} b_1 \\ b_2 \\ b_3 \\ \vdots \\ b_n \end{pmatrix} \Rightarrow$$

$$\begin{pmatrix} y_1 \\ m_{21}y_1 + y_2 \\ \vdots \\ m_{n(n-1)}y_{n-1} + y_n \end{pmatrix} = \begin{pmatrix} b_1 \\ b_2 \\ \vdots \\ b_n \end{pmatrix}$$

Τώρα προχωράμε στο diagUsol, δηλαδή την επίλυση του  $Ux = y$ .

Εύκολα λοιπόν λύνεται, το παραπάνω σύστημα υπολογίζοντας το  $y_i = b_i - m_{i(i-1)}y_{i-1}$ , χρησιμοποιώντας το προηγούμενο με  $y_1 = b_1$ .

$$\begin{pmatrix} a_1 & b_1 & \cdots & & 0 \\ 0 & a_2^{(1)} & b_2 & \cdots & 0 \\ 0 & 0 & a_3^{(2)} & \cdots & 0 \\ \vdots & \vdots & \vdots & & \vdots \\ 0 & & & a_{n-1}^{(n-2)} & b_{n-1} \\ 0 & \cdots & 0 & \cdots & 0 & a_n^{(n-1)} \end{pmatrix} \begin{pmatrix} x_1 \\ x_2 \\ x_3 \\ \vdots \\ x_n \end{pmatrix} = \begin{pmatrix} y_1 \\ y_2 \\ y_3 \\ \vdots \\ y_n \end{pmatrix} \Rightarrow$$

$$\begin{pmatrix} a_1 x_1 + b_1 x_2 \\ a_2^{(1)} x_2 + b_2 x_3 \\ \vdots \\ a_n^{(n-1)} x_n \end{pmatrix} = \begin{pmatrix} y_1 \\ y_2 \\ \vdots \\ y_n \end{pmatrix}$$

Εύκολα λοιπόν λύνεται, το παραπάνω σύστημα υπολογίζοντας το  $x_i = \frac{y_i - b_i x_{i+1}}{a_i^{(i-1)}}$ , χρησιμοποιώντας το επόμενο με  $x_n = \frac{y_n}{a_n^{(n-1)}}$ .

Ύστερα απο τις παραπάνω τροποποιήσεις, επέρχεται τεράστια βελτίωση σε θέμα χρόνου (ασυμπτωτικά) σε όλες τις φάσεις του αλγορίθμου επίλυσης του συστήματος.

Ο καινούργιος μας αλγόριθμος LUdec, είναι της τάξης  $O(n)$ , δηλαδή γραμμικός, όσο αφορά τον χρόνο (αφού έχει ουσιαστικά ένα for, το εσωτερικό for συνεισφέρει κατά μια σταθερά 2, αφού τρέχει απο το  $i$  στο  $i + 1$ ) και  $O(n^2)$  όσο αφορά τον χώρο, καθώς αποθηκεύουμε πίνακες στη μνήμη μεγέθους  $n^2$ .

Προηγουμένως, ο αλγόριθμος LUdec ήταν της τάξης  $O(\frac{n^3}{3})$  όσο αφορά τη χρονική πολυπλοκότητα (όσο και η μέθοδο απαλλοιφής του Gauss, στην οποία βασίζεται) και  $O(n^2)$  όσο αφορά τον χώρο, για τον ίδιο λόγο.

Ο καινούργιος μας αλγόριθμος diagLsol, είναι της τάξης  $O(n)$ , γραμμικός όσο αφορά τον χρόνο (ένα for) και  $O(n^2)$  όσο αφορά τον χώρο. (Απλά εκτελούμε  $n$  υπολογισμούς).

Ο προηγούμενος αλγόριθμος Lsol είναι της τάξης  $O(\frac{n^2-n}{2}) = O(n^2)$ , στον χρόνο (περίπου  $n + n - 1 + \dots + 1$  επαναλήψεις) και  $O(n^2)$  όσο αφορά τον χώρο.

Ο καινούργιος μας αλγόριθμος diagUsol, είναι της τάξης  $O(n)$ , γραμμικός όσο αφορά τον χρόνο (ένα for) και  $O(n^2)$  όσο αφορά τον χώρο.

Ο προηγούμενος αλγόριθμος Usol είναι της τάξης  $O(\frac{n^2-n}{2}) = O(n^2)$ , στον χρόνο (περίπου  $n + n - 1 + \dots + 1$  επαναλήψεις) και  $O(n^2)$  όσο αφορά τον χώρο.

Συνδυάζοντας τα παραπάνω για ένα σύστημα με τριδιαγώνιο πίνακα ( $Ax = b$ ), αν χρησιμοποιήσουμε την γενική μέθοδο LUdec  $\rightarrow$  Lsol  $\rightarrow$  Usol, έχουμε χρονική πολυπλοκότητα  $O(\frac{n^3}{3}) + O(n^2) + O(n^2) = O(\frac{n^3}{3})$ , ενώ με την ειδική μέθοδο μας diagLUdec  $\rightarrow$  diagLsol  $\rightarrow$  diagUsol έχουμε χρονική πολυπλοκότητα  $O(n) + O(n) + O(n) = O(n)$ , ενώ όσο αφορά τον χώρο και οι δύο μέθοδοι είναι της τάξης  $O(n^2)$ .

### Πράξεις:

diagLUdec:  $2(n - 1) + 2(n - 1) = 4n$  flops

diagUsol:  $1 + n - 1 = n$  flops

diagLsol:  $1 + n - 1 = n$  flops

diagLUdec  $\rightarrow$  diagUsol  $\rightarrow$  diagLsol:  $6n$  flops

LUdec: Για κάθε  $1 \leq i \leq n - 1$ , έχουμε  $(n - i) + (n - i)(n - i + 1) = (n - i)(n - i + 2)$  flops, άρα συνολικά  $\sum_{i=1}^{n-1} (n - i)(n - i + 2) = \sum_{i=1}^n (n - i)^2 + 2(n - i) = \sum_{i=1}^n i^2 + 2i = \frac{n(n + 1)(2n + 1)}{6} + \frac{2n(n + 1)}{2} = n(n + 1)(\frac{2n + 1}{6} + 1) = (n^2 + n)(\frac{2n + 7}{6}) = \frac{2n^3 + 9n^2 + 7n}{6}$  flops.

Lsol: Για κάθε  $1 \leq i \leq n$ , έχουμε  $2 + i - 1 = i + 1$  flops, άρα συνολικά  $\frac{n(n + 1)}{2} + 1 = \frac{n^2 + n + 2}{2}$  flops.

Usol: Ομοίως,  $\frac{n^2 + n + 2}{2}$  flops.

LUdec  $\rightarrow$  Usol  $\rightarrow$  Lsol:  $\frac{2n^3 + 9n^2 + 7n}{6} + \frac{6n^2 + 6n + 12}{6} = \frac{2n^3 + 15n^2 + 13n + 12}{6}$  flops.

## 1.2 Μέρος Β

$$A = \begin{pmatrix} 5 & 2 & 0 & \cdots & & \\ 2 & 5 & 2 & 0 & \cdots & \\ 0 & 2 & 5 & 2 & 0 & \cdots \\ \vdots & & & \ddots & \ddots & \ddots \\ 0 & \cdots & & & 2 & 5 \end{pmatrix}$$

Υπολογίζουμε την ορίζουσα του  $A = LU$ , μέσω του άνω τριγωνικού  $U$ , συγκριμένα όπως γνωρίζουμε ο  $U$  προκύπτει από τον  $A$ , με αφαιρέσεις γραμμών, οι οποίες δεν επηρεάζουν την τιμή της ορίζουσας  $\det A$ , επίσης ο  $U$  είναι άνω

τριγωνικός επομένως  $\det A = \det U = \prod_{i=1}^{11} u_{ii} = 5592405$ .

Λύνουμε τα συστήματα  $Ax_i = e_i$ , με  $e_j = \delta_{ij}$ ,  $1 \leq i, j \leq 11$ , με τη μέθοδο που αναπτύξαμε στο μέρος Α (diagLUdec  $\rightarrow$  diagLsol  $\rightarrow$  diagUsol) και φτιάχνουμε τον πίνακα  $B = (x_1, x_2, \dots, x_{11})$ , τότε  $A(x_1, x_2, \dots, x_{11}) = (Ax_1, Ax_2, \dots, Ax_{11}) = (e_1, e_2, \dots, e_{11}) = I_{11} \implies B = A^{-1}$ .

## 2 Άσκηση 2

### 2.1 Μέρος Β

Επιλύοντας το σύστημα:

$$Ax = b \leftrightarrow \begin{pmatrix} 2 & 1 & 3 \\ 4 & 2 & 1 \\ 1 & 1 & 1 \end{pmatrix} \begin{pmatrix} x_1 \\ x_2 \\ x_3 \end{pmatrix} = \begin{pmatrix} 13 \\ 11 \\ 6 \end{pmatrix}$$

Με τη μέθοδο απαλλοιφής του Gauss (LUdec  $\rightarrow$  Lsol  $\rightarrow$  Usol), οδηγούμαστε στη λύση του συστήματος:

$$x = \begin{pmatrix} NaN \\ NaN \\ NaN \end{pmatrix}$$

Προφανώς, δεν είναι λύση, καθώς κάπου προέκυψε σφάλμα. Πράγματι, ύστερα απο διερεύνηση, διαπιστώνει κανείς, ότι έγινε διαίρεση με το 0 κατά τον υπολογισμό (συγκεκριμένα το 2ο διαγώνιο στοιχείο του  $A$  μηδενίστηκε στην πρώτη αφαίρεση γραμμών και ύστερα χρησιμοποιήθηκε στην διαίρεση για τον συντελεστή  $m_{32}$  του  $L$ ) και επομένως η μέθοδος απαλλοιοφής του Gauss χωρίς οδήγηση, απέτυχε.

Με τη μέθοδο απαλλοιοφής του Gauss, με μερική οδήγηση ( $\text{pdLUdec} \rightarrow \text{Lsol} \rightarrow \text{Usol}$ ), οδηγούμαστε στη λύση του συστήματος  $P Ax = Pb \implies Ax = b$ , ( $P^T P = I_3 \implies P^{-1} = P^T$ ):

$$x = \begin{pmatrix} 1 \\ 2 \\ 3 \end{pmatrix}, P = \begin{pmatrix} 0 & 1 & 0 \\ 0 & 0 & 1 \\ 1 & 0 & 0 \end{pmatrix}$$

Τελικά βρίσκουμε ότι η λύση του συστήματος είναι η:

$$x = \begin{pmatrix} 1 \\ 2 \\ 3 \end{pmatrix}$$

Σε αυτό το παράδειγμα η μερική οδήγηση στη μέθοδο απαλλοιοφής του Gauss, απέτρεψε την επικείμενη διαίρεση με το 0, εναλλάσσοντας τις κατάλληλες γραμμές.

### 3 Άσκηση 3

$$Hil = \begin{pmatrix} 1 & \frac{1}{2} & \frac{1}{3} & \frac{1}{4} \\ \frac{1}{2} & \frac{1}{3} & \frac{1}{4} & \frac{1}{5} \\ \frac{1}{3} & \frac{1}{4} & \frac{1}{5} & \frac{1}{6} \\ \frac{1}{4} & \frac{1}{5} & \frac{1}{6} & \frac{1}{7} \end{pmatrix}$$

$$Had = \begin{pmatrix} 1 & 1 & 1 & 1 \\ 1 & -1 & 1 & -1 \\ 1 & 1 & -1 & -1 \\ 1 & -1 & -1 & 1 \end{pmatrix}$$

$$b_1 = \begin{pmatrix} \frac{25}{12} \\ \frac{77}{60} \\ \frac{19}{20} \\ \frac{319}{420} \end{pmatrix}, b_2 = \begin{pmatrix} 4 \\ 0 \\ 0 \\ 0 \end{pmatrix}, x = \begin{pmatrix} 1 \\ 1 \\ 1 \\ 1 \end{pmatrix}$$

$$b_1^* = \begin{pmatrix} \frac{25}{12} \\ \frac{77}{60} \\ \frac{19}{20} \\ \frac{320}{420} \end{pmatrix}, b_2^* = \begin{pmatrix} 4 \\ 0 \\ 0 \\ \frac{1}{420} \end{pmatrix}$$

$$Hilx_1 = b_1^* \implies x_1 = \begin{pmatrix} 0.6667 \\ 5.0000 \\ -9.0000 \\ 7.6667 \end{pmatrix}$$

$$Hadx_2 = b_2^* \implies x_2 = \begin{pmatrix} 1.0006 \\ 0.9994 \\ 0.9994 \\ 1.0006 \end{pmatrix}$$

$$\frac{\|x - x_1\|_\infty}{\|x\|_\infty} = 10, \frac{\|b_1 - b_1^*\|_\infty}{\|b_1\|_\infty} = 1.1429 \cdot 10^{-3}, \kappa(Hil)_\infty = 2.8375 \cdot 10^4$$

$$\frac{\|x - x_2\|_\infty}{\|x\|_\infty} = 5.9524 \cdot 10^{-4}, \frac{\|b_2 - b_2^*\|_\infty}{\|b_2\|_\infty} = 5.9524 \cdot 10^{-4}, \kappa(Had)_\infty = 4$$

Απο θεωρία γνωρίζουμε ότι  $\frac{\|\Delta x\|_\infty}{\|x\|_\infty} \leq \kappa(A) \frac{\|\Delta b\|_\infty}{\|b\|_\infty}$ ,  $\forall A \in R^{n \times n}$  αντιστρέψιμο. Δηλαδή, το  $\kappa(A)$  καθορίζει το άνω φράγμα της μεταβολής της λύσης του συστήματος, δεδομένου μιας μεταβολής του  $b$ . Επομένως, αν αυτός ο αριθμός

είναι μικρός, τότε μικρές μεταβολές στο  $b$ , προκαλούν μικρές μεταβολές στο  $x$  και αντίστροφα μεγάλο  $\kappa(A)$  σημαίνει ότι μια μικρή μεταβολή στο  $b$ , μπορεί να προκαλέσει μεγάλη μεταβολή στη λύση  $x$  του συστήματος.

Πράγματι, παρατηρούμε ότι για τον πίνακα Hilbert,  $\kappa(Hil)_\infty \gg 1$  και ότι μια μικρή μεταβολή στο  $b$ , της τάξης του  $10^{-3}$ , προκαλεί συγκριτικά μεγάλη μεταβολή στη λύση του συστήματος, της τάξης του  $10^1$ , το οποίο βγάζει νοήμα, σύμφωνα με την παραπάνω ανισότητα. (ill-conditioned matrix).

Αντιθέτως, παρατηρούμε ότι για τον πίνακα Hadamard,  $\kappa(Had)_\infty \approx 1$  και ότι μια μικρή μεταβολή στο  $b$ , της τάξης του  $10^{-4}$ , προκαλεί συγκριτικά μια μικρή μεταβολή στη λύση του συστήματος, της τάξης του  $10^{-4}$ , όπως και περιμέναμε από την ανισότητα. (well-conditioned matrix).

## 4 Άσκηση 4

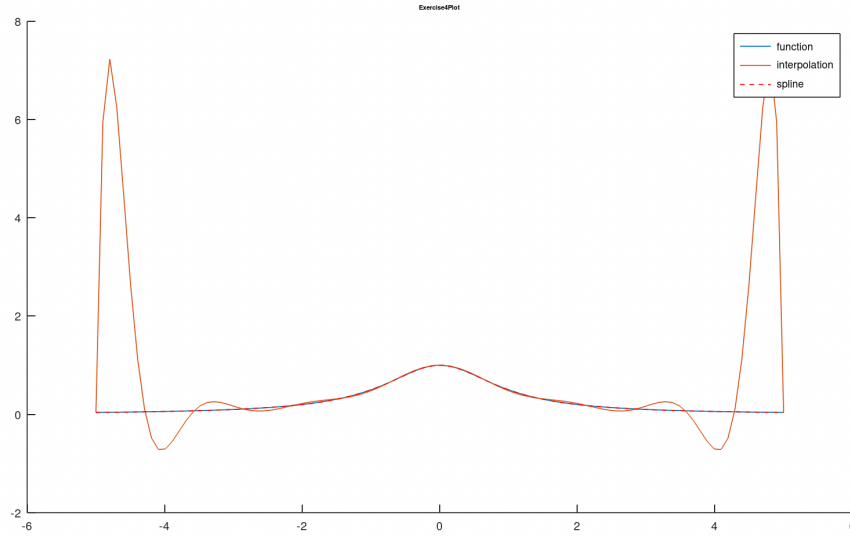
Θεωρούμε:

$$f(x) = \frac{1}{1+x^2}, x \in [-5, 5]$$

Και τα σημεία  $(x_i, f(x_i))$ , ομοιόμορφα κατανομημένα στο  $[-5, 5]$  και 15 στο πλήθος.

Παρατηρούμε και από το γράφημα, ότι η μέθοδος Spline, προσεγγίζει την  $f$





καλύτερα, ενώ η μέθοδος Langrange είναι ασταθής κοντά στα άκρα του διαστήματος  $[-5, 5]$ , αυτό ήταν και αναμενόμενο, καθώς:

Για τη μέθοδο splines, γνωρίζουμε απο θεωρία ότι  $\|f - s\|_{\infty} \leq \frac{5}{384} h^4 \|f^{(4)}\|_{\infty}$ , όπου  $h$  η λεπτότητα της διαμέρισης, εδώ  $h = \frac{10}{15} = \frac{2}{3}$ , εφόσον η διαμέριση μας είναι ομοιόμορφη στο  $[-5, 5]$ . Υπολογίζουμε επίσης με βοήθεια (Wolfram Alpha),  $\|f^{(4)}\|_{\infty} = 24$ , άρα  $\|f - s\|_{\infty} \leq \frac{5}{384} \frac{16}{81} \cdot 24 \approx 0.06172839506$ , το οποίο είναι αρκετά καλό.

Απο την άλλη, για τη μέθοδο Langrange έχουμε απο θεωρία  $\|f - p_n\|_{\infty} \leq \frac{h^{n+1}}{4(n+1)} \|f^{(n+1)}\|_{\infty} \Rightarrow \|f - p_n\|_{\infty} \leq \frac{h^{16}}{64} \|f^{(16)}\|_{\infty}$ . Με βοήθεια υπολογίζουμε (Wolfram Alpha)  $\|f^{(16)}\|_{\infty} = 20922789888000$ , άρα  $\|f - p_n\|_{\infty} \leq \frac{2^{16}}{64 \cdot 3^{16}} \cdot 20922789888000 \approx 497713562.092$ .

Διαισθητικά, αυτό οφείλεται στο ότι έχουμε υπερβολικά πολλά σημεία παρεμβολής και το πολυώνυμο παρεμβολής γίνεται 15ου βαθμού, που το κάνει δύσχρηστο και ασταθές, όσο  $|x| \uparrow$ , απο την το spline συμπεριφέρεται καλύτερα ως πολυώνυμο τρίτου βαθμού και τα πολλά σημεία επιδρούν αποκλειστικά θετικά, σε αυτό,

οπώς παρατηρούμε και απο την ανισότητα.